

GRAVİMETRİK YEREY DOZELTMESİNİN  
SAYISAL ARAZİ MODELİNDEN YARARLANARAK HESABI

Emin AYHAN  
Muzaffer KAHVECİ

ÖZET

Gravimetrik yerey (arazi) düzeltmesini hesaplamak amacıyla kullanılan silindirik bölme, konik kabuk, dikdörtgen bölge, üçgen bölge ve FFT yöntemleri genel özellikleri ile kısaca gözden geçirilmektedir. Bu yöntemlerden silindirik bölge yöntemi Maden Tetkik ve Arama Genel Müdürlüğü'nce (MTA) Hammer(1939)'da verilen ve Harita Genel Komutanlığında Hayford-Bowie (1912)'de verilen kuşak ve bölmelere göre insangücü ile topografik haritalardan yükseklik okunarak gravimetrik yerey düzeltmesi belirlemeye kullanılmıştır. Bu çalışmada ise dikdörtgen bölge yöntemine dayalı  $15'' \times 20''$  ( $450m \times 450m$ ) boyutlu nokta ve  $5' \times 5'$  lik ortalama yüksekliklerden oluşan sayısal arazi modelini kullanan bilgisayar yazılımı ile gravimetrik yerey düzeltmesi belirlenmektedir. Bu yöntemi test etmek amacıyla biri düz diğer dağlık iki bölgede silindirik bölge ve dikdörtgen bölge yöntemleri ile bulunan gravimetrik yerey düzeltmeleri karşılaştırılmıştır.

ABSTRACT

*The general properties of cylindrical prism, conical shell, rectangular prism, triangular prism and FFT methods to compute gravimetric terrain corrections are being reviewed briefly. The cylindrical prism method based upon templates prepared by Hammer (1939) and Hayford-Bowie (1912) has been used to compute gravimetric terrain corrections by the General Directorate of Mineral Research and Exploration (MTA) and the General Command of Mapping respectively. In these computations, mean heights of compartments manually scaled on topographical maps have been used. In this study, gravimetric terrain corrections are calculated by means of the program, called TC, based on rectangular prism method and the DTM consisting of heights at  $15'' \times 20''$  ( $450m \times 450m$ ) grid nodes and  $5' \times 5'$  mean heights. In order to test this method, gravimetric terrain corrections calculated separately by using rectangular and cylindrical prism methods in the moderate and the hilly areas have been compared.*

## 1. GİRİŞ

Bozucu potansiyel  $T$  ve parametrelerini ( $\Delta g$ ,  $N$ ,  $\xi$ ,  $n$ , . . . .) belirlemek amacıyla geliştirilen Stokes ve Molodensky kuramlarında gravimetrik yerey düzeltmesinin (terrain correction) önemli bir kullanımı bulunmaktadır. Stokes kuramında jeoid dışında kitle bulunmaması ve ölçülerin jeoid yüzeyine indirgenmesi gerekmektedir. Fiziksel yeryüzünün Bouguer plakasından farklılığını oluşturan artık ve noksan kitlelerin gravite üzerinde toplam çekim etkisi olan gravimetrik yerey düzeltmesi ( $tc$ ) ve Bouguer plakası çekim etkisi gözönünde bulundurularak jeoid dışındaki topografik kitlelerin toplam etkisi belirlenebilmektedir. Böylece jeoid dışında herhangi bir kitlenin bulunmadığı varsayımla jeoid üzerine indirgenin gravite ölçüleri Stokes ve Vening-Meinesz eşitliklerinde kullanılarak bozucu potansiyel ve parametreleri bulunur. Ayrıca bu yolla yükseklikle korelasyonu büyük ölçüde giderilen indirgenmiş ölçülerle yapılan prediksiyonun doğruluğu da artmaktadır (Heiskanen-Moritz, 1967; Kraiger-Sünkel, 1983).

Molodensky kuramında bozucu potansiyel ve parametreleri belirlenirken, gravite ile yükseklik arasında doğrusal korelasyon bulunduğu varsayılarak fiziksel yeryüzündeki gravite ölçülerine getirilecek birinci dereceden düzeltme  $g_1$  yerine gravimetrik yerey düzeltmesi  $tc$  kullanılabilir (Moritz, 1980).  $g_1$ 'in hesabında gravite ve yüksekliklerin kombinasyonu ile hesaplama ya gerek olmasına rağmen  $tc$  için yalnızca yükseklikler kullanılmaktadır. Yükseklikler gravite ölçülerine göre daha düzenli ve sık olduğundan hesaplamada büyük bir hız sağlanmaktadır.

Gravimetrik yerey düzeltmesinin yukarıda belirtilen jeodezik uygulamalarına ek olarak jeofizik'te de önemli kullanım alanı bulunmaktadır. Jeofizik amaçlı gravite ölçülerine herhangi bir düzeltme getirilmeden önce gravimetrik yerey düzeltmesi getirilmekte ve bu ölçüler kabuk içinde yoğunluk belirlemek amacıyla kullanılmaktadır (Hammer, 1939).

Jeodezik ve jeofizik amaçlarla farklı doğrulukta gravimetrik yerey düzeltmesi kullanılmaktadır. Jeofizik amaçla hesap noktasından belirli uzaklıktaki topografya yeterli olmasına karşılık jeodezik amaçlarla daha geniş bölgedeki topografyanın dikkate alınması gerekmektedir. Değişik doğrulukta ve değişik uzaklıktaki topografik kitlelerden yararla gravimetrik yerey düzeltmesi belirleyen çok sayıda yöntem geliştirilmiştir (Hayford-Bowie, 1912; Hammer, 1939; Stacey-Stephens, 1970; Danes, 1982; Blais-Ferland, 1984; Sideris, 1984;

Pick, 1987; Sprenkle, 1989). Bu yöntemlerden silindirik bölme, konik kabuk, dikdörtgen bölme, üçgen bölme ve FFT yöntemleri genel özellikleri ile ikinci bölümde açıklanmaktadır.

Türkiye'de mevcut 62250 gravite ölçü noktasında, daha çok jeofizik amaçla Hammer (1939)'daki yöntemle, İç Anadolu Bölgesinde yer alan yaklaşık 4500 noktasında Hayford-Bowie (1912)'de verilen yöntem ile gravimetrik yerey düzeltmesi belirlenmiştir. Her iki yöntem insan gücüne ve topografik haritalardan yükseklik okumaya dayalıdır. Hem bu yöntemlerle hesaplananları, hemde son yıllarda sağlanan Türkiye'nin 15" x 20" sıkılıklu sayısal arazi modeli ile bilgisayarda hesaplanan gravimetrik yerey düzeltmelerini birbiriyle karşılaştırmak amacıyla, biri düz diğerı dağlık iki bölgede sayısal uygulama yapılmış ve üçüncü bölümde açıklanmaktadır. Çalışma içinde gravimetrik yerey düzeltmesinden yalnızca yerey düzeltmesi ismi ile sözedilecektir.

## 2. YEREY DOZELTMESİ HESAPLAMA YÖNTEMLERİ

Önceleri insan gücüne dayalı yöntemler geliştirilip kullanılmış olmasına karşılık mühendislik uygulamalarında bilgisayarın yaygın kullanılması paralelinde bilgisayar yazılımları ile yerey düzeltmesi hesaplamaya uygun yöntemler geliştirilmiş olup genel bir derleme Stacey-Stephens (1970)'de verilmektedir. Hesap noktası çevresindeki topografyanın temsil edilme biçimine (silindirik bölge, dikdörtgen bölge, konik kabuk, üçgen bölge v.b.) ve hesaplama hızına bağlı olarak oluşturulan yerey düzeltme yöntemleri aşağıda kısaca açıklanmaktadır.

### a. Silindirik Bölge Yöntemi

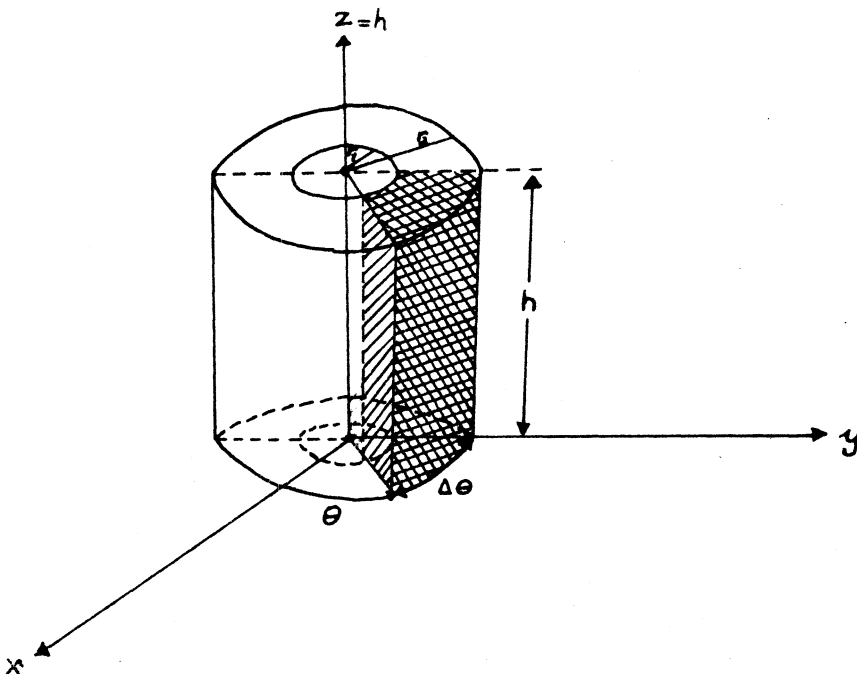
Bu yöntemde yerey düzeltmesi, düşey silindir çekim etkisinden yararla elde edilen formüle göre hesaplanmaktadır. Şekil-1'de gösterilen ( $r, \theta, h$ ) silindirik koordinat sisteminde " $r_1$ " iç ve " $r_2$ " dış yarıçaplı,  $\Delta\theta$  radyal açılı ve  $h$  yükseklikli bir silindirik bölmenin, silindir ekseni üzerindeki P noktasında  $t_{c_i}$  çekim etkisi;

$$t_{c_i} = G_0 \int_0^{\Delta\theta} \int_0^h \int_{r_1}^{r_2} \frac{zr dr dz d\theta}{(r^2 + z^2)^{3/2}} \quad (2.1)$$

ve integralin açılımı yapıldığında;

$$tc; = G\rho\Delta\theta \left[ (r_1^2 + h^2)^{1/2} - (r_2^2 + h^2)^{1/2} + (r_2 - r_1) \right] \quad (2.2)$$

ile elde edilir (Hammer, 1939; Heiskanen-Moritz, 1967). Burada;  $G$  Newton çeykimi sabiti ve  $\rho$  bölme ortalama yoğunluğudur.



Şekil-1: Silindirik Bölme.

Hesaplamalarda zaman kazanmak amacıyla (2.2) eşitliğine göre belirli yarıçap ve bölme ortalama yüksekliğine bağlı olarak yerey düzeltme değerleri Hayford & Bowie (1912) ve Hammer (1939; 1982)'de tablolar halinde verilmektedir. Hammer (1939)'da verilen tablolar dağlık bölgelerde hesaplamaya uygun olacak biçimde daha sonra Douglas-Prahl (1972)'de genişletilmiştir.

Bu tablolar veya (2.2) eşitliği kullanılarak bir noktada yerey düzeltmesini bulmak için öncelikle ilgili bölgenin topografik bir haritasına gerek vardır. Yerey düzeltmesi hesaplanacak noktayı çevreleyen topografiya, ortak merkezli iç içe dairelerle sınırlandırılan kuşaklara ve her kuşak da merkezden çizilen radyal çizgilerle bölmelere ayrılır. Kuşakların yarıçapları ve bölme sayıları;

- \* Hesaplama için gerekli zamana
- \* Bölmenin ortalama yüksekliğinin duyarlığına ve
- \* Varsayımların uygunluğuna

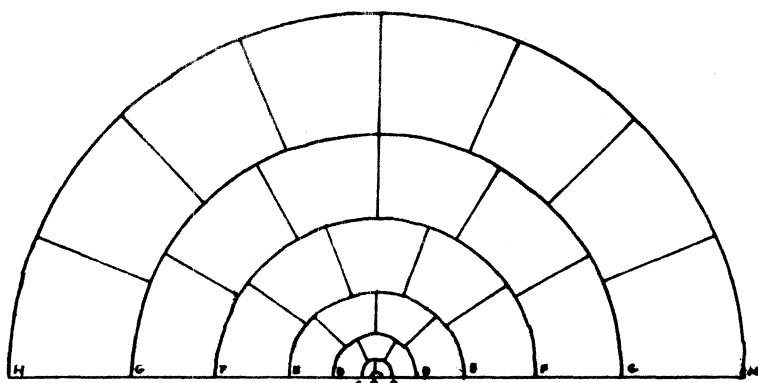
göre bulunur (Hayford-Bowie, 1912). Söz konusu kuşak ve bölmeler harita ölçüne uygun olarak geçirgen altlık üzerine çizilir (Şekil-2). Nokta hazırlanan bu altlığın merkezine ve referans çizgiside meridyenle çakıştırılarak topografik harita üzerine yerleştirilir ve her bölmeye ortalama yükseklik h okunur.

Daha sonra noktanın yüksekliğinden yararla bölmeler için hesaplanan  $\Delta h$  yükseklik farklarına karşılık gelen  $t_c$ <sub>i</sub> yerey düzeltme değerleri tablodan veya (2.2) eşitliği ile bulunur. Bölmelerin  $t_c$ <sub>i</sub> etkileri toplanarak noktadaki yerey düzeltme  $t_c$  bulunur.

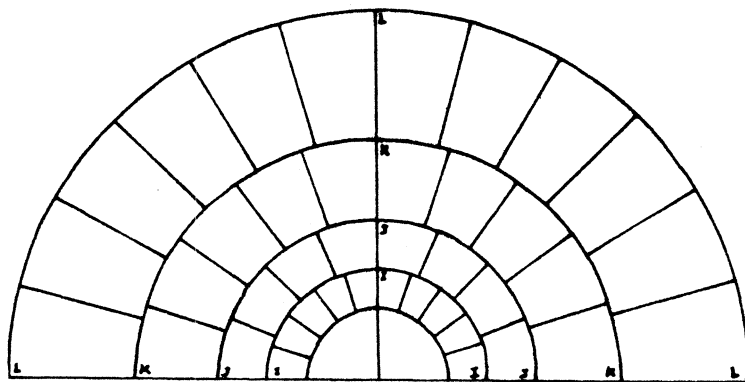
(Hammer (1939)'da verilen tablo; B'den M'ye kadar harflerle isimlendirilen kuşaklarda yeralan 150 bölmeden oluşmaktadır. Bu tablolar hazırlanırken yer küreselliği dikkate alınmamış olup bir noktada  $t_c$  değeri 1/2-1 saat'lik sürede 0.1 mgal doğrulukla belirlenebilmektedir (Hammer, 1939). Daha duyarlı çalışmalarda kullanmak amacıyla Hammer (1939)'da verilen B,C ve D kuşakları alt kuşaklara ayrılmıştır. Oluşturulan bu ayrıntılı kuşakların iç ve dış yarıçapları ile bölmeye sayıları tablo-1'de verilmektedir (Hammer, 1939;1982). Hammer (1939;1982)'de verilen tabloların hazırlanmasında ortalama yoğunluk ( $\rho$ )  $2.0 \text{ gr/cm}^3$  alınmış olup başka bir  $\rho_0$  yoğunluğu ile çalışıldığında tablo değerlerinin ( $\rho_0/\rho$ ) ile çarpılması yeterlidir.

Hayford-Bowie (1912)'de verilen tablolar hazırlanırken ise tüm yeryüzü toplam 317 bölmeye ayrılmış, A'dan O'ya kadar harflendirilen 15 kuşak'ta 199 bölmeye, 18'den 1'e kadar numaralandırılan 18 kuşak'ta ise 118 bölmeye bulunmaktadır. A ile O kuşaklarının iç ve dış yarıçapları ile her kuşaktaki bölmeye sayıları tablo-2'de verilmektedir. Yerey düzeltmesi hesaplanırken A'dan O'ya kadar harflendirilen kuşaklar kullanılmakta olup yer küreselliği yalnızca M,N ve O kuşakları için dikkate alınmaktadır. Hayford-Bowie (1912)'de verilen tablolar'da yoğunluk  $2.67 \text{ gr/cm}^3$  alınmıştır.

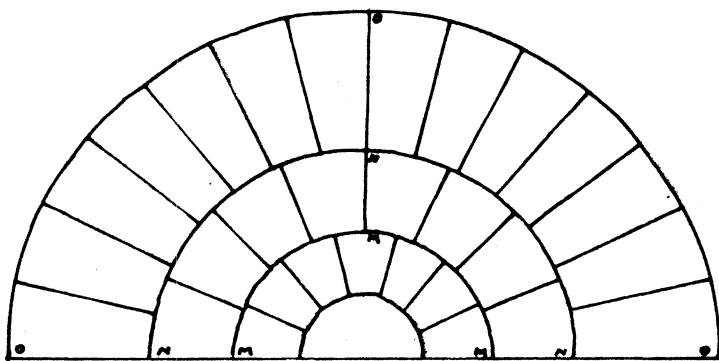
Yukarıda açıklanan Hayford-Bowie (1912) ve Hammer (1939)'da verilen silindirik bölmeye çekim etkilerini hesaplamada kullanılan tablolar silindirik bölmelerin üst yüzeyleri yatay düzlem varsayılarak hazırlanmıştır. Topografik yapının bölmelerde eğimli olması nedeniyle daha iyi yaklaşım Campbell (1980)'de olduğu gibi, silindirik bölmeye üst yüzeylerinin eğimli düzlem varsayılmaması veya bölmelerdeki topografyanın konik prizmalarla temsil edilmesiyle sağlanabilir (Hammer, 1939; Olivier-Simard, 1981).



a) Küçültülmüş Ölçek: 1/25 000



b) Küçültülmüş Ölçek: 1/200 000



c) Küçültülmüş Ölçek: 1/800 000

Şekil-2 : Kuşak ve Bölmeler (Hayford-Bowie, 1912)

TABLO-1 : Hammer (1939;1982) ve Hayford-Bowie (1912) kuşakları

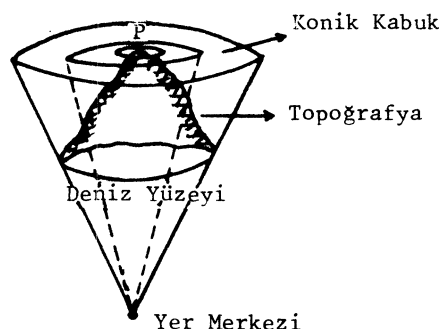
KUŞAK	HAMMER (1939;1982)			HAYFORD-BOWIE (1912)		
	İÇ YARIÇAP (METRE)	DİS YARIÇAP (METRE)	BÖLME SAYISI	İÇ YARIÇAP (METRE)	DİS YARIÇAP (METRE)	BÖLME SAYISI
A	-	-	-	0	2	1
B	-	-	-	2	68	4
B1	2.0	4.0	4	-	-	-
B2	4.0	8.2	4	-	-	-
B3	8.2	16.6	4	-	-	-
C	-	-	-	68	230	4
C1	16.6	29.7	6	-	-	-
C2	29.7	53.3	6	-	-	-
D	-	-	-	230	590	6
D1	53.3	95.0	6	-	-	-
D2	95.0	170.0	6	-	-	-
E	170.0	390.1	8	590	1280	8
F	390.1	894.9	8	1280	2290	10
G	894.9	1529.5	12	2290	3520	12
H	1529.5	2614.6	12	3520	5240	16
I	2614.6	4468.9	12	5240	8440	20
J	4468.9	6652.6	16	8440	12400	16
K	6652.6	9902.9	16	12400	18800	20
L	9902.9	14741.7	16	18800	28800	24
M	14741.7	21944.4	16	28800	58800	14
N	-	-	-	58800	99000	16
O	-	-	-	99000	166700	28

Grafik yöntemin kullanılmasındaki en yorucu aşama bölme ortalama yüksekliklerinin belirlenmesidir. Ortamala yükseklikler,

- \* Topografik harita üzerinden,
- \* Interpolasyonla (Krohn, 1976; Pick, 1987; Cogbill, 1989) veya
- \* Doğrudan ölçü

ile bulunur. Bu seçeneklerden en uygunu grid köşelerinde sayısallaştırılmış topografik yüksekliklerden yararla silindirik bölme ortalama yüksekliklerinin interpolasyonla bulunduğu seçenektedir.

### b. Konik Kabuk Yöntemi

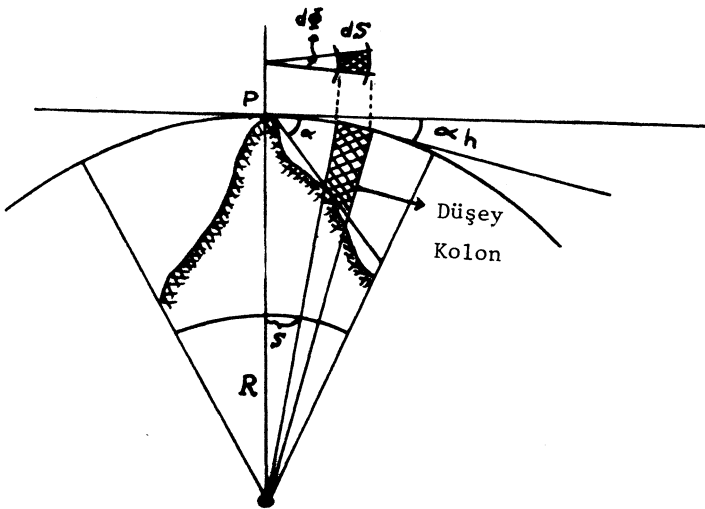


Şekil-3: Konik Kabuk

Gravite istasyonunu çevreleyen ortak eksenli konik kabuklar istasyon noktasında bir çekim etkisi yaratır. Yerey düzeltme hesabı için P noktasından geçen düzlem ile topografya arasında kalan hacim; P noktasındaki düşey eksen simetri eksenini ve yerin merkezi tepe noktası olan iç içe koniler ile konik kabuklar biçiminde  $dS$  genişlikli kuşaklar ve P noktasından yatay doğrultudaki  $d\phi$  aralıklı radyal doğrultularla bölmelere ayrılır. Böylece topografya  $dS \times d\phi$  boyutlu yerin merkezine yönelik düşey kolonlar (bölmeler) ile temsil edilmektedir (Şekil-4)

Bir düşey kolonun P noktasında yarattığı yerey düzeltme etkisi  $tc_i$ ;

$$tc_i = G_0 (\cos \alpha_h - \cos \alpha) d\phi dS \quad (2.3)$$



Şekil-4: Düşey Kolonlar

ile belirlenir. Burada  $\text{Cos}\alpha_h = S/2R$  ve  $\text{Cos}\alpha$  istasyon noktası ile topografik yüzey arasındaki eğimi belirtmektedir. (2.3) eşitliğinden yararla P noktasındaki toplam yerey düzeltme  $t_c$ ;

$$t_c = \int_0^S ds \int_0^{2\pi} G_p (\text{Cos} \frac{S}{2R} - \text{Cos}\alpha) d\phi \quad (2.4)$$

ile elde edilir. Burada

$$\bar{y} = 2\pi G_p (\text{Cos} \frac{S}{2R} - \text{Cos}\alpha) \quad (2.5)$$

olmak üzere (2.4) eşitliği,

$$t_c = \int_0^S \bar{y} ds \quad (2.6)$$

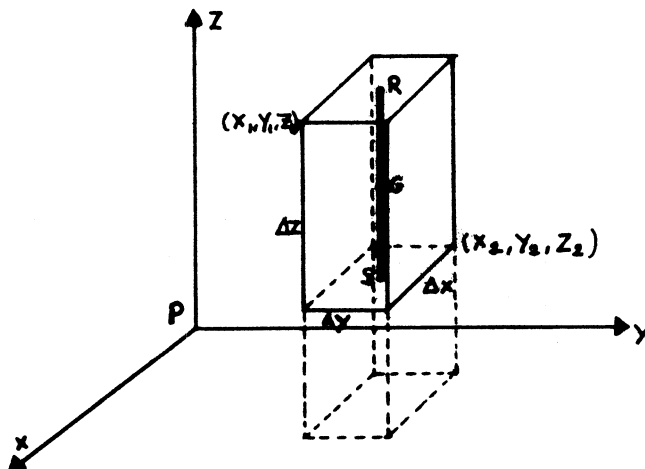
olarak yazılabilir. (2.6) eşitliğindeki  $\bar{y}$  değeri istasyon noktasından eşit uzaklıktaki topografayı kapsayan bir konik kabugun (2.5) eşitliği ile hesap-

lanan toplam çekim etkisini göstermekte olup uzaklığın bir fonksiyonudur. Hesaplamalarda kolaylık sağlamak amacıyla, istasyon noktası çeyresi belirli yarıçaplı kuşaklara ayrıılır. Her kuşağa ait ortalama çekim etkisi  $\bar{y}$  bulunur ve bunlara uyan bir fonksiyon tanımlanır.  $\bar{y}$  değerleri bulunduktan sonra (2.6) eşitliğindeki integral, sayısal veya analitik yöntemle çözülür ve  $t_c$  yerey düzeltmesi bulunur (Mathisen, 1976).

### c. Dikdörtgen Bölme Yöntemi

#### (1) Üst Yüzeyi Düz Dikdörtgen Bölme

Bu yöntemde, topografya, kenarları koordinat eksenlerine paralel dikdörtgen bölmelerden oluşan bir model ile temsil edilmektedir (Şekil-5).



Şekil-5 : Dikdörtgen Bölme

$(x, y, z)$  dik koordinat sisteminin merkezinde bulunan P istasyon noktasında bir dikdörtgen bölmenin çekim etkisi  $t_c$  ;

$$t_{c_i} = G_0 \frac{z \ dx \ dy \ dz}{(x^2 + y^2 + z^2)^{3/2}} \quad (2.7)$$

$$\begin{matrix} z_2 \\ z_1 \end{matrix} \quad \begin{matrix} y_2 \\ y_1 \end{matrix} \quad \begin{matrix} x_2 \\ x_1 \end{matrix}$$

ile yazılır. (2.7) eşitliğindeki integral çözüldüğünde,

$$\rho^2 = x^2 + y^2 + z^2$$

olmak üzere;

$$tc_i = G_0 \left| \left| \left| x \ln(y+\ell) + y \ln(x+\ell) - z \arcsin \frac{z^2 + y^2 + z^2}{(y+\ell) \sqrt{y+z}} \right| \right| \right|_{\begin{array}{c} z_2 \\ z_1 \\ y_2 \\ y_1 \\ x_2 \\ x_1 \end{array}} \quad (2.8)$$

bulunur (Nagy, 1966, 1966a; Banerjee-Gupta, 1977; Ayhan, 1981; Forsberg, 1984).

Topografya'yı oluşturan dikdörtgen bölmelerin P noktasındaki çekim etkileri ayrı ayrı hesaplanıp toplanır ve toplam yerey düzeltmesi tc bulunur. Bu değerin doğruluğu topografya'nın dikdörtgen bölmeler ile uygun temsil edilmesine bağlıdır. Bu amaçla istasyon noktasından uzaklaştıkça bölmelerin boyutu büyümek üzere uygun bölme boyutlarının belirlenmesi önem kazanmaktadır.

Hesap noktasından uzaktaki kitlelerin çekim etkileri küçük olduğundan, topografik yapının uzak bölge için detaylı biçimde belirlenmesine gerek yoktur. Uzak bölgede yeralan bölmeler için (2.8)'de verilen tam formüllerin kullanılması hesaplama zamanı açısından uygun olmadığından daha basit ve yaklaşık formüllerin kullanılması gerekmektedir. Bu amaçla dikdörtgen prizmanın çekim etkisini hesaplamak için (2.7) ve (2.8) eşitlikleri ile bulunan tam çözüme ek olarak nokta kitle ve çizgi kitle yaklaşık yöntemler kullanılmakta olup aşağıda bu yöntemler kısaca açıklanmaktadır.

#### (a) Nokta Kitle Yöntemi

$(x,y,z)$  dik koordinat sisteminde oluşturulan dikdörtgen bölme toplam kitesinin  $(x,y,z)$  koordinatlı  $Q$  bölge ağırlık merkezinde yoğunlaştırıldı-  
ğı düşünülürse (2.7) eşitliği

$$t c_i = \frac{G_p \Delta x \Delta y \Delta z \bar{z}}{(\bar{x}_i^2 + \bar{y}_i^2 + \bar{z}_i^2)} \quad (2.9)$$

biçimine dönüşür. Burada  $\Delta x, \Delta y, \Delta z$  dikdörtgen bölmenin boyutlarını göstermektedir.

Dikdörtgen bölmeyi veren bir diğer yaklaşım eşitlik, bölmeyi potansiyeli V küresel harmonik serilere açılıp

$$V = G\rho \Delta x \Delta y \Delta z \left\{ \frac{1}{\ell} + \frac{1}{24\ell^5} \left[ (2\Delta x^2 - \Delta y^2 - \Delta z^2)x^2 + (-\Delta x^2 - 2\Delta y^2 - \Delta z^2)y^2 + (-\Delta x^2 - \Delta y^2 + 2\Delta z^2)z^2 \right] \right\} \quad (2.10)$$

$$+ \frac{1}{288 \ell g} \left[ \dots + \dots + \dots \right]_{+}, \dots \}$$

$$t c_i = \frac{\partial V_i}{\partial z} \quad (2.10a)$$

ile bulunabilir (MacMillan, 1958). (2.10) eşitliğindeki ilk terim nokta kitle çekim potansiyeli olup bölme boyutlarının birbirinden farklı olmasının etkisi diğer toplam terimlerde gözönünde bulundurulmaktadır.

### (b) Çizgi Kitle Yöntemi

Bu yaklaşık yöntemde dikdörtgen bölme kitlelerinin, bölme ortasından geçen R,S noktaları arasındaki düşey çizgi boyunca yoğunlaştırıldığı düşünülür ve (2.7) eşitliğindeki integral yalnızca "z" için çözülür. Buna göre  $\Delta x, \Delta y, \Delta z = \Delta h$  boyutlu dikdörtgen bölmenin çizgi kitle yöntemiyle çekim etkisi,

$$t c_i = G_0 \Delta x \Delta y \int_z^{z_2 = \Delta h_i} \frac{z \, dz}{\ell^3} \quad (2.11)$$

ile verilir.

### (2) Üst Yüzeyli Eğimli Dikdörtgen Prizmalar

Üst yüzeyi eğimli düzlem kabul edilen dikdörtgen bölge gerçek yapıya daha uygundur ve x,y,z dik koordinat sisteminin başlangıç noktasında yeralan P hesap noktasında yarattığı çekim kuvvetinin düşey bileşeni  $t c_i$ ,

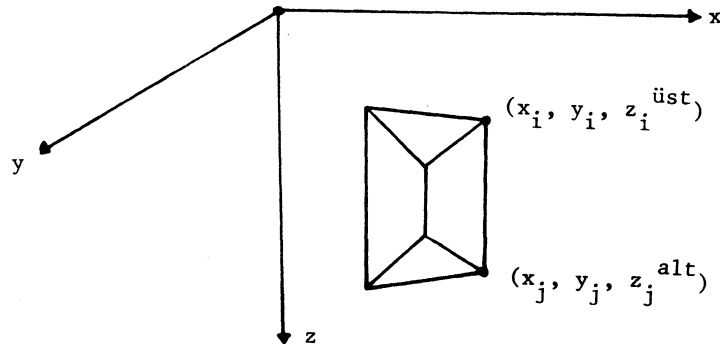
$$t c_i = G_0 \int_{x_1}^{x_2} \int_{y_1}^{y_2} \int_{z_1}^{z_2} \frac{z \, dx \, dy \, dz}{(x^2 + y^2 + z^2)^{3/2}} \quad (2.12)$$

ile belirlenir. Burada  $z_2 + \alpha x + \beta y$  bölmenin eğik üst yüzeyini temsil etmekte olup  $\alpha$  ve  $\beta$  katsayıları bölge köşe yüksekliklerinden yararla bulunmaktadır (Blais, v.d., 1983; Blais-Ferland, 1984; Sideris, 1984).

### d. Üçgen Bölmeye Yöntemi

Bu yöntemde topografya üçgen bölmelerle temsil edilmektedir. Şekil-6'da üst ve alt yüzeyi eğimli üçgen bölge gösterilmekte olup bu hacim beş düzlem

(üçü düşey ve ikisi eğimli) veya altı nokta ile temsil edilebilir. Üst yüzeyin köşe noktaları ( $x_i$ ,  $y_i$ ,  $z_i^{\text{üst}}$ ) ve alt yüzeyin köşe noktaları ( $x_j$ ,  $y_j$ ,  $z_j^{\text{alt}}$ ),  $i,j=1,2,3$  ile gösterilirse,



Şekil-6 : Üçgen Bölme

eğimli üst ve alt yüzeyler sırasıyla

$$z = a_1 x + a_2 y + a_3 \quad (2.13)$$

$$Z = A_1 X + A_2 Y + A_3 \quad (2.14)$$

ile belirlenir. Bölmenin düşey yanal yüzeyleri için de,

$$y = m_i x + n_i \quad (2.15)$$

yazılabilir. (2.13), (2.14) ve (2.15)'den yararla Şekil-6'da tanımlı ( $x, y, z$ ) koordinat sisteminin P başlangıç noktasında üçgen bölme çekim etkisi  $t_{c_i}$ ,

$$t_{c_i} = G_p \sum_{k=1}^3 \int_{x_k}^{x_{k+1}} \int_{y_k}^{m_k x + n_k} \int_{A_1 X + A_2 Y + A_3}^{\frac{a_1 x + a_2 y + a_3}{\sqrt{(x^2 + y^2 + z^2)/3/2}}} \frac{z \, dx \, dy \, dz}{(x^2 + y^2 + z^2)^{3/2}} \quad (2.16)$$

integral'i ile belirlenmekte olup bu eşitliğin bir çözümü Woodward (1975)'de verilmektedir. Üçgen bölme için diğer bir çözüm Zhou, v.d. (1990)'da bulunabilir.

#### e. FFT (Fast Fourier Transform) Yöntemi

S referans düzleminde tanımlı dik koordinat sistemi (x,y) olmak üzere bir  $g(x,y)$  fonksiyonunun 2-D Fourier dönüşümü ( $F\{.\}$ );

$$G(u,v) = F\{g(x,y)\} = \int_{-\infty}^{\infty} \int_{-\infty}^{\infty} g(x,y) e^{-j2\pi(ux+vy)} dx dy \quad (2.17)$$

ve 2-D ters Fourier dönüşümü ( $F^{-1}\{.\}$ );

$$g(x,y) = F^{-1}\{G(u,v)\} = \int_{-\infty}^{\infty} \int_{-\infty}^{\infty} G(u,v) e^{j2\pi(ux+vy)} dx dy \quad (2.18)$$

ile verilir. Burada  $G(u,v)$ ,  $g(x,y)$  fonksiyonunun spektrumu,  $u, v$  frekanslar,  $j = \sqrt{-1}$  ve  $e = 2.71828\dots$  anlamındadır.

İn Referans düzleminde yükseklik olmak üzere  $(x,y)$  dik koordinat sisteminde bir  $P(x_p, y_p)$  noktasındaki yerey düzeltme değeri;

$$tc_p = \frac{1}{2} G_p \iint_S \frac{[h(x,y) - h(x_p, y_p)]^2}{[(x-x_p)^2 + (y-y_p)^2]^{3/2}} dx dy \quad (2.19)$$

olarak yazılır (Moritz, 1980; Sideris, 1985). Bu eşitlik Fourier dönüşümü uygunarak düzenlenirse

$$tc_p = \frac{1}{2} G_p \left[ F^{-1}\{N(u,v)R(u,v)\} - 2h(x,y)F^{-1}\{H(u,v)R(u,v)\} + n(x,y)R(0,0) \right] \quad (2.20)$$

uygulama eşitliği elde edilir. Burada,

$$N(u,v) = F\{h^2(x,y)\} \quad (2.21)$$

$$H(u,v) = F\{h(x,y)\} \quad (2.22)$$

$$R(u,v) = F\{[(x-x_p)^2 + (y-y_p)^2]^{3/2}\} \quad (2.23)$$

ile tanımlıdır. Ancak yükseklikler grid köşelerinde verildiğinde  $N, H$  ve  $R$  için (2.17) ile verilen sürekli spektrum yerine ayrık spektrum, ayrık Fourier dönü-

şümü ile elde edilir. Bu durumda (2.19) eşitliğine FFT uygulanarak uygulama eşitliği bulunur ve bu da çizgi kitle çekim etkisine karşılık gelmektedir(Sideris, 1984,1985; Forsberg, 1985).

### 3. SAYISAL UYGULAMA

Türkiye'de gravite ölçüleri jeofizik ve jeodezik amaçlarla değişik kurulşarca ve başka amaçlarla yapılmakta olup yerey düzeltmesi benzer ancak farklı nitelikli yöntemlerle hesaplanmaktadır. Jeodezik amaçla gravite ölçüsü yapılan Harita Genel Komutanlığı'nda yerey düzeltmesi Hayford-Bowie (1912)'de verilen kuşak ve bölmelere uygun silindirik bölme yöntemiyle hesaplanmaktadır. Bu amaçla 1/25 000, 1/200 000 ve 1/800 000 ölçekli topografik haritalar üzerinden uygun geçirgen altlıklar yardımıyla silindirik bölme ortalama yükseklikleri okunmaktadır. Noktadan 166.7 km uzaklık içinde kalan bölmelerin çekim etkileri tablolar ile hesaplanıp toplanarak yerey düzeltmesi bulunmaktadır. İç Anadolu Bölgesi'nde yer alan yaklaşık 4500 gravite ölçü noktasında yerey düzeltmesi insangücüne dayalı olarak bu yöntemle bilirlenmiştir. Silindirik bölme yöntemi Maden Tetkik ve Arama Genel Müdürlüğü (MTA) jeofizik amaçlarla biraz daha değişik bir biçimde yerey düzeltmesi hesabında kullanılmaktadır. Hammer (1939;1982)'de verilen J kuşağına kadar kuşak ve bölmelerin sıklaştırılmasıyla oluşturulan yeni bölmelerde ortalama yükseklikler topografik haritalar üzerinden okunmaktadır. Ortalama yükseklikler bulunan silindirik bölmelerin çekim etkileri tablolardan belirlenip toplanarak yerey düzeltmesi bulunmaktadır. Bu çalışmalarda ortalama yoğunluk 2.4 gr/cm alınmış ve ayrıca noktadan 6.65 km(Jkuşağı dış sınırı) uzaklık içinde kalan kitlelerin çekim etkileri gözönünde tutulup uzak bölge etkisi yok kabul edilmiştir. Bu yöntemle Türkiye'ye dağılmış yaklaşık 62250 gravite ölçü noktasında yerey düzeltmesi bilirlenmiştir.

Yukarıda sözedilen çalışmalarda kullanılan silindirik bölme yöntemi her noktada bölmeler değişik olduğundan ortalama yüksekliklerin insangücü ile topografik haritalar üzerinden okunmasını gerektirir. Böylece aynı bölgede ortalama yükseklikler harita üzerinden çok kez okunmakta ve bu da insangücü ve zaman kaybına neden olmaktadır. Hesap bölgelerinde sayısal arazi modeli mevcut olması durumunda uygun yazılımlar ile bilgisayarda bölme ortalama yüksekliklerini belirlemek mümkündür, ancak bu da fazladan zaman ve işlem gerektirir.

Silindirik bölme yöntemiyle insangücü kullanılarak yapılan bu çalışmaların ilkinde daha büyük bölmeler noktadan 166.7 km uzağa digerinde ise daha

küçük bölmeler noktadan 6.65 km uzaklığa kadar kullanıldığından belirlenen yerey düzeltmelerinde farklılık olmaktadır. Ayrıca yoğun insangücü ve uzun zaman gerektirdiğinden, sayısal arazi modelini kullanan, bilgisayarda uygulanabilen yöntemlerin kullanılması uygun görülmektedir. Daha önce yapılan bir çalışma ile  $34^{\circ} 30'$  -  $42^{\circ} 30'$  enlemleri ve  $25^{\circ} 30'$  -  $45^{\circ} 00'$  boylamları arasında kalan Türkiye topografyası  $15'' \times 20''$  (450m x 450m) grid köşelerinde sayısallaştırılıp sayısal arazi modeli kütüğü hazırlanmıştır. Sözkonusu kütükte bir paralel daire üzerinde doğrudan batıya 3510 adet yükseklik verisi bir kayıt'ta yer almaktır ve kuzeyden güneye doğru paralel daireler üzerinde toplam 1920 kayıt bulunmaktadır. Ayrıca  $5' \times 5'$  ortalama yükseklikleri içeren yeni bir kütük daha hazırlanmış olup ortalama yükseklikler  $5' \times 5'$  lük bölmeye giren  $15'' \times 20''$  sıklıklı yüksekliklerin aritmatik ortalamasıyla bulunmuştur.

Yukarıda özellikleri kısaca açıklanan sayısal arazi modeli ile herhangi bir noktada yerey düzeltmesi hesaplamak amacıyla Forsberg (1984)'de verilen TC isimli yazılım VAX - 11/780 bilgisayarına uyarlanıp düzenlenmiştir. Sözkonusu yazılım ile yerey düzeltmesi hesaplanırken topoğrafya dikdörtgen bölmelerde ayrılmakta ve bölmelerin noktaya olan uzaklığuna bağlı olarak çekim etkileri (2.8),(2.9) veya (2.10-a) eşitlikleri ile bulunmaktadır. Hesap noktası çevresindeki topoğrafya iç, orta ve dış olmak üzere üç bölgeye ayrılmıştır. Sözkonusu bölgelerin genişlikleri konusunda değişik öneriler bulunmaktadır olup bazı araştırmacılarca uygulanan bölge genişlikleri tablo-2'de sergilenmektedir.

Tablo-2: Bölge Dış Yarıçapları

K A Y N A K	İÇ (km.)	ORTA (km.)	DIŞ (km.)
Hayford-Bowie	--	--	166.70
Hammer, (1939)	--	--	21.70
Stacey-Stephens, (1970)	2.5	--	25.00
Mathisen, (1976)	0.068	3.52	166.70
Danes, (1982)	--	--	52.60
Blais-Ferland, (1983)	2.0-3.0	10.0-12.0	50.0-100.0
Sideris, (1984)	--	--	20.00
Pick, (1987)	0.6	--	166.70
Pick, (1987)	5.24	--	166.70
Cogbill, (1990)	2.0	--	--
Sprénke, (1989)	--	--	167.00
Ballina, (1990)	1.0	--	20.00

Bu çalışmada uygun bölge genişliklerini belirlemek amacıyla değişik bölge sınırları ile uygulama yapılmıştır. İç bölge sınırı hesap noktasını içeren 450m x 450m lik bölmeye komşu bölmelerin dış sınırı seçilmiştir. İç Bölge toplam dokuz 450m x 450m lik bölmeyi kapsar ve 1350m x 1350m boyutludur. İç bölgede (2.8) ile verilen tam eşitlikler kullanılmakta ve duyarlı hesap amacıyla noktadan uzaklaşıkça boyutları büyüyen toplam 529 dikdörtgen bölmenden oluşan bir altbölümleme oluşturulmaktadır. Altbölümleme bölge yükseklikleri iç bölgeye giren 16 adet 450m x 450m bölge köşe nokta yüksekliklerinden bikübik spline fonksiyonları ile belirlenmiştir.

Orta ve dış bölgelerde oluşturulan sırasıyla 15" x 20" ve 5' x 5' boyutlu bölge çekim etkileri (2.8), (2.9) veya (2.10) formüllerinden biri ile bulunmaktadır. Bölmelerin yükseklikleri sayısal arazi modelinden hesaplanmakta olup bölge çekim etkisini bulmak amacıyla bu üç formülden hangisinin kullanılacağını belirlemek üzere bir ölçüt kullanılmaktadır. Dikdörtgen bölge ağırlık merkezi ile hesap noktası arasındaki uzaklık  $\ell$  ve bölmenin üst ve alt yuzeyleri arasındaki diagonal uzaklık  $\ell'$  olmak üzere  $(\ell^2 / \ell'^2)$  ile tanımlanan ölçütün sınır değerleri olarak 49 ve 81 seçilmiştir. Bu ölçüt gözönünde tutularak orta ve dış bölgede yer alan dikdörtgen bölge çekim etkisi hesabında kullanılan formüller tablo-3'de gösterilmiştir.

TABLO-3 : Orta ve Dış Bölgede Hesap Formülü Seçimi

$(\ell^2 / \ell'^2) < 49$	$49 < (\ell^2 / \ell'^2) < 81$	$81 < (\ell^2 / \ell'^2)$
(2.8)	(2.10-a)	(2.9)

Sözedilen TC yazılımı ve MTA ile Harita Genel Komutanlığında silindirik bölge yöntemiyle hesaplanan yerey düzeltmelerini karşılaştırmak ve yukarıda açıklanan yöntemi test etmek amacıyla iki test bölgesi seçilmiştir. Gravite ölçü noktalarında MTA ve Harita Genel Komutanlığında hesaplanan yerey düzeltmeleri temin edilen test bölgelerinden birinin düz diğerinin dağınık olmasına dikkat edilmiştir. Seçilen test bölgelerinin sınırları, bölgelerde yükseklik ve gravitenin en küçük, en büyük, ortalama ve RMS değerleri tablo-4'de sergilenmektedir.

Yerey düzeltmelerini TC yazılımı ile yeterli doğrulukta hesaplamaya uygun iç, orta ve dış bölge genişliklerini belirlemek amacıyla tablo-5'de verilen seçenekler ile test bölgesinde hesap yapılmıştır. Ayrıca MTA tarafından yapı-

TABLO-4 : Test Bölgeleri

Bölge No.	Enlem	Boylam	Yükseklik (m)				Gravite (mgal)			
			En Küçük	En Büyük	Ort.	RMS	En Küçük	En Büyük	Ort.	RMS
1 (ANKARA)	$39^{\circ}30'$	$32^{\circ}30'$	788.8	1861.0	1080.0	$\pm 165.3$	979	979	979	$\pm 43.6$
	$40^{\circ}00'$	$33^{\circ}00'$					719.4	960.2	873.1	
2 (AFYON )	$38^{\circ}00'$	$31^{\circ}00'$	948.3	2346.7	1344.9	$\pm 374.2$	979	979	979	$\pm 74.9$
	$38^{\circ}30'$	$31^{\circ}30'$					451.9	773.7	681.7	

TABLO-5 : Bölge Dış Sınırları

Seçenek No.,	İç Bölge (km)	Orta Bölge (km)	Dış Bölge (km)
I	0.95	6.65	6.65
II	0.95	6.65	166.70
III	0.95	21.90	21.90
IV	0.95	21.90	166.70

lar hesaplarda ortalama kabuk yoğunluğu  $\rho_o$   $2.4 \text{ gr/cm}^3$  alındığından karşılaş-  
tırma amacıyla TC yazılımında hem  $2.67 \text{ gr/cm}^3$  ve hemde  $2.4 \text{ gr/cm}^3$  kullanıl-  
mıştır.

Test bölgelerinin herbirinde seçilen 109 test gravite noktasında yukarı-  
da kısaca açıklanan yönteme uygun olarak TC yazılımı ile yerey düzeltmesi he-  
saplanmış ve silindirik bölmeler ile bulunanlarda karşılaştırılmıştır. İç,,orta  
diş bölgeler için tablo-5'deki seçenekler ve iki ayrı yoğunluk değeri gözö-  
nünde tutularak yapılan hesaplama sonunda her test noktasında sekiz adet ye-  
rey düzeltmesi belirlenmiştir. Bulunan bu değerler birbirleriyle ve silindi-  
rik bölmeye yöntemiyle bulunanlar ile karşılaştırılmış olup farkların en küçük,  
en büyük, ortalama ve RMS değerleri tablo-6'da verilmektedir. Tabloda; MTA  
tarafından bulunan değerler HAMMER, Harita Genel Komutanlığında bulunanlar  
HAYFORD ve TC yazılımıyla bulunanlar ise tablo-5'deki seçenek numaraları(I,  
II,III,IV) ile gösterilmektedir.

Tablo-6 incelendiğinde TC yazılımı ile bulunan çözümlerden noktadan  $6.65 \text{ km}$  uzaklık içinde kalan kitle çekim etkilerini gözönünde bulunduran I çözümü-  
nün, MTA tarafından uygulanan yöntemle hem düz hem dağlık bölgelerde belirgin  
olarak uyumlu olduğu görülmektedir. Yoğunluğun  $2.4 \text{ gr/cm}^3$  alındığı TC yazılı-  
mı ile bulunan çözümlerin, bekleniği gibi MTA tarafından bulunan çözümle da-  
ha uyumlu oldukları da gözlenmektedir. Ancak Türkiye sınırları içinde kalan  
kara parçası için geçerli ortalama kabuk yoğunluğu ve yoğunluk modeli biline-  
mediğinden sayısal sonuçların doğruluğu konusunda yorum yapımaktan kaçınla-  
caktır. Yine tablodan Hayford-Bowie (1912)'deki kuşak ve bölmeler ile bulunan  
çözümün, uzak bölge etkisini gözönünde bulunduran II ve IV çözümleriyle uyum-  
lu olduğu, ortalama farkın düz bölgesinde  $-0.17$  ;  $-0.14 \text{ mgal}$ , dağlık bölgesinde ise  
 $+0.03$  ;  $+0.17 \text{ mgal}$  olduğu belirlenmiştir.

Uzak bölgenin yerey düzeltmesi hesaplarına katkısını belirlemek üzere I,  
II,III ve IV çözümleri karşılaştırılmış ve farkların ortalaması ile standart  
sapmaları tablo-7'de verilmektedir. Tablodan uzak bölge etkisinin bölgenin  
genişliğine, orta bölge dış sınırına ve topografyanın düz veya dağlık olması-  
na bağlı olduğu görülmektedir. Düz bölgelerde belirli bir uzaklıktan sonra  
topografyanın ölçü noktası yüksekliği ile aynı yükseklikte olduğu varsayıldığın-  
dan uzak bölge etkisi dağlık bölgelere göre küçütür. Bu incelemeden özellikle  
dağlık bölgelerde uzak bölge etkisinin yerey düzeltmesi hesaplarında gözö-  
nünde tutulması gerektiği sonucuna varılmaktadır. Hammer (1939)'da verilen J  
ve M kuşaklarına kadar işlem yapıldığında dağlık bölgelerde uzak bölge etkisi  
sırasıyla  $-1.51 \text{ mgal}$  ve  $-0.45 \text{ mgal}$  değerlerine ulaşmaktadır. Bu da gravite  
ölçü doğruluğunun üzerindedir.

TABLO-6 : Yerey Düzeltme Yöntemlerinin Karşılaştırılması

SIRA NO.	$\rho_o$ gr/cm <sup>3</sup>	FARKLAR	1' NCİ BÖLGE				2' NCİ BÖLGE			
			EN KÜCÜK (mgal)	EN BÜYÜK (mgal)	ORTALAMA (mgal)	RMS (mgal)	EN KÜCÜK (mgal)	EN BÜYÜK (mgal)	ORTALAMA (mgal)	RMS (mgal)
1	2.67	I-HAMMER	-2.94	+0.54	-0.09	0.45	- 4.50	+ 0.87	+0.39	1.87
2		II-HAMMER	-2.65	+5.82	+0.28	0.77	- 0.40	+ 9.75	+1.89	2.87
3		III-HAMMER	-2.13	+2.83	+0.12	0.49	- 2.35	+12.27	+1.58	2.67
4		IV-HAMMER	-2.60	+5.84	+0.31	0.78	- 0.34	+10.16	+2.04	3.00
5		I-HAYFORD	-5.77	+0.35	-0.54	1.07	-12.74	+ 4.73	-1.47	3.27
6		II-HAYFORD	-4.88	+1.00	-0.17	0.59	- 5.13	+ 4.29	+0.03	1.08
7		III-HAYFORD	-4.36	+0.50	-0.33	0.75	- 7.92	+ 6.06	-0.29	2.29
8		IV-HAYFORD	-4.83	+1.00	-0.14	0.59	- 4.98	+ 4.42	+0.17	1.09
9		HAMMER-HAYFORD	-5.75	+0.55	-0.45	0.84	-10.84	- 0.08	-1.87	2.99
10		I - II	-5.84	+0.48	-0.38	0.79	-10.28	+ 4.49	-1.51	2.91
11		I - III	-2.85	-0.03	-0.21	0.38	- 6.04	- 0.12	-1.19	1.61
12		I - IV	-5.86	+0.46	-0.40	0.81	-10.85	+ 4.17	-1.65	3.00
13		II- III	-0.63	+2.99	+0.16	0.48	- 5.81	+ 5.41	+0.32	1.85
14		II- IV	-0.10	+0.03	-0.02	0.03	- 0.73	+ 0.32	-0.14	0.25
15		III- IV	-3.02	+0.61	-0.19	0.49	- 5.97	+ 5.50	-0.45	1.87
16	2.4	I-HAMMER	-3.68	+0.47	-0.17	0.52	- 5.01	+ 7.58	+0.07	1.70
17		II-HAMMER	-3.42	+4.62	+0.17	0.66	- 0.75	+ 8.15	+1.42	2.18
18		III-HAMMER	-2.96	+1.92	+0.03	0.46	- 3.08	+ 9.73	+1.14	2.14
19		IV-HAMMER	-3.38	+4.64	+0.19	0.67	- 0.69	+ 8.53	+1.55	2.29

Tablo-7 : Uzak Bölge Etkisi

Bölge Türü	Uzak Bölge Genişliği	6.65 - 21.9 km	6.65 - 166.7 km	21.9 - 166.7 km
Düz		-0.20+0.35 mgal	-0.38+0.70 mgal	-0.18+0.45 mgal
Dağlık		-1.19+1.09 mgal	-1.51+2.50 mgal	-0.45+1.82 mgal

#### 4. SONUÇLAR

Yerey düzeltmesi belirlemek amacıyla kullanılan ve genel özelliklerini kısaca açıklanan yöntemlerden insangücüne dayalı silindirik bölme ve bilgisayar çalışmalarına uygun dikdörtgen bölme yöntemleri ile düz ve dağlık iki test bölgeinde sayısal uygulama ve karşılaştırma yapılmıştır. Bu inceleme sonunda Hayford-Bowie (1912) ve Hammer (1939)'da verilen silindirik bölme yönteminin yürücü ve zaman alıcı olduğu, doğruluğunun topografik harita doğruluğu ile ortalamaya yükseklik okuyan personelin deneyimine bağlı olduğu görülmektedir. Özellikle dağlık bölgelerde noktanın yakın çevresi silindirik bölmelerle iyi temsil edilebildiğinden yüksek doğruluk vermektedir. Ancak bilgisayar çalışmalarına uygun olmaması ve insangücüne dayalı olması nedenleriyle yerey düzeltmesi hesabına uygun olmadığı değerlendirilmektedir.

Mevcut sayısal arazi modelini kullanan ve bilgisayarda uygulanabilen dikdörtgen bölme yöntemi silindirik bölme yöntemiyle karşılaştırılmıştır. Bu yöntemin Hammer (1939)'da verilen silindirik bölme yöntemiyle düz bölgelerde uyumlu, dağlık bölgelerde farklı olduğu belirlenmiştir. Ayrıca Hayford-Bowie (1912) deki kuşak ve bölmelere uygun silindirik bölme ile karşılaştırıldığında ise düz ve dağlık bölgelerde uyumlu oldukları bulunmuştur. Bu değerlendirmeler ışığında mevcut sayısal arazi modeli ve TC yazılımı ile uygulanan dikdörtgen bölme yönteminin;

a. İç bölgede ek yükseklik okumaları yapılip, iç bölge etkisinin üçgen bölge veya silindirik bölme yöntemiyle ayrıca hesaplanması ve

b. Uygun iç, orta ve dış bölge genişliklerinin belirlenmesi ile geliştirilerek yerey düzeltmesi hesabında genel bir yöntem olarak kullanımasında yarar görülmektedir. Böylece hesaplamlara standartlık getirilerek benzer nitelik ve doğrulukta yerey düzeltmeleri bilimsel amaçla kullanıma sunulabilecektir.

Test bölgelerinde uzak bölge etkisini belirlemek için yapılan incelemelerde bu etkinin düz ve özellikle dağlık bölgelerde gravite ölçü duyarlığının üzerinde değerlere ulaşlığı görülmüştür. Bu nedenle yerey düzeltmesi hesaplanırken uzak bölge etkisinin gözönünde tutulması gerektiği sonucuna varılmaktadır.

Kullanımda olan sayısal arazi modelinde, deniz ve göl gibi topografyası mevcut olmadığından yükseklik, denizlerde sıfır ve göllerde ise göl yüzeyinin yüksekliği alınmıştır. Bu nedenle deniz ve göl derinlik haritalarının temin edilerek sayısal arazi modelinin güncelleştirilmesinde yarar bulunmaktadır. Sayısal arazi modelinin güncelleştirilmesine ek olarak topografik kitle yoğunluğunu belirleyip Türkiye sayısal yoğunluk modelini oluşturmanın yerey düzeltme- si doğruluğunu artıracığı düşünülmektedir.

#### K A Y N A K L A R

- /1/ Ayhan,E. : Topografik-İsostatik Çekül Sapması ve İsostatik Anomali, Hrt.Der,Sayı:89, S.55-84.1982
- /2/ Ballina,L.H.R. : Fortran Program for Automatic Terrain Correction of Gravity Measurements. Computer & Geosciences, Vol.16,No.2,pp.237-244. 1990
- /3/ Banerjee,B., P.D.,Gupta. : Gravitational Attraction of a Rectangular Parallelepiped Geophysics,Vol.42,No.5, pp. 1053-1055. 1977
- /4/ Blais,J.A.R., R.,Ferland. : Optimization in Gravimetric Terrain Corrections. Canadian Journal of Earth Sciences, Vol.21,pp.505-515. 1984
- /5/ Blais,J.A.R.,G.D., Lodwick, R.,Ferland. : Gravimetric Terrain Coorections in Western Canada. Canadian Journal of Earth Sciences, Vol.20, pp.259-265. 1983
- /6/ Campbell,D.L. : Gravity Terrain Correction for Stations on a Uniform slope-A power low approximation. Geophysics. Vol.45, No.1,pp.109-112. 1980
- /7/ Cogbill,A.H. : Gravity Terrain Corrections Calculated Using Digital Elevation Models. Geophysics,Vol.55, No.1,pp.102-106. 1990

- /8/ Danes,Z.F. : An Analytic Method for the Determination of the Distant Terrain Correction. Geophysics Vol.47, No.10, pp.1453-1455. 1982
- /9/ Douglas,J.K., S.R.,Prahl. : Extended Terrain Correction Tables for Gravity Reductions. Geophysics,Vol.37, No.2,pp. 377-379. 1972
- /10/ Forsberg,R. : A Study of Terrain Reductions, Density Anomalies and Geophysical Inversion Methods in Gravity Field Modelling. OSU Report, No.355, Columbus. 1984
- /11/ Forsberg,R. : Gravity Field Terrain Effect Computations by FFT. Bul. Geod., Vol.59, pp.342-360. 1985
- /12/ Hammer,S. : Terrain Corrections for Gravimeter Stations. Geophysics, Vol.4, No.3, pp.184-194. 1939
- /13/ Hammer,S. : Critique of Terrain Corrections for Gravity Stations. Geophysics, Vol.47, No.5, pp.389 - 840. 1982
- /14/ Hayford,J.F., W.,Bowie. : The Effect of Topography and Isostatic Compensation upon the Intensity of Gravity. Coast and Geodetic Survey, Special Pub.No.10, Washington. 1912
- /15/ Heiskanen,W.A.H., Moritz. : Physical Geodesy. Freeman, London. 1967
- /16/ Khorn,D.H. : Gravity Terrain Corrections Using Multiquadratic Equations. Geophysics, Vol.41, No.2, pp. 266-275. 1976
- /17/ Kraiger,G., H.Sünkel. : The Prediction of Free-Air Anomalies. Manuscripta Geodaetica Vol.8, No.3, pp.229-248. 1983
- /18/ MacMillan,W.D. : The Theory of the Potential. Dover Publications, Inc., New York. 1958
- /19/ Mathisen,O. : A Method for Bouguer Reduction with Rapid Calculation of Terrain Corrections. Geographical Survey of Norway, No.18, Oslo. 1976
- /20/ Moritz,H. : Advanced Physical Geodesy. H.Wichmann Verlag, Karlsruhe. 1980

- /21/ Nagy,D. : The Gravitational Attraction of a Right Rectangular Prism. Geophysics, Vol.31, No.2, pp.362-371. 1966
- /22/ Nagy,D. : The Prism Method for Terrain Corrections Using Digital Computers. Pure and Applied Geophysics, Vol.63, pp.31-39. 1966-a
- /23/ Olivier,R.J., R.G., Simard. : Improvement of the conic prism model for terrain correction in rugged topography. Geophysics, Vol.26, No.7, pp.1054-1056. 1981
- /24/ Pick,M. : On the Calculation of the Gravity Terrain Corrections in Czechoslovakia. Studia Geoph. et geod., Vol.31, pp.131-144. 1987
- /25/ Sideris,M.G. : Computation of terrain Corrections Using the Fast Fourier Transform. The university of Calgary, 1984
- /26/ Sideris,M.G. : A Fast Fourier Transform method for computing terrain correction. Manuscripta Geodaetica, Vol. 10, No.1, pp.66-73. 1985
- /27/ Sprenkle,K.F. : Efficient Terrain Corrections: A geostatistical analysis. Geophysics, Vol.54, No.12, pp.1622-1628. 1989
- /28/ Stacey,R.A., L.E., Stephens. : Procedures for Calculating Terrain Corrections for Gravity Measurements. Publications of the Dominion Observatory. Ottawa. Vol.39, No.10. 1970
- /29/ Woodward,D.J. : The Gravitational Attraction of Vertical Triangular Prisms. Geophysical prospecting, Vol.23, pp.526-532. 1975
- /30/ Zhou,X.,B., Zhoung,X.,Li. : Gravimetric Terrain Corrections by Triangular-Element Method. Geophysics, Vol.55, No.2, pp.232-238. 1990